

Kopplung von Prozessen in Hydrosphäre, Atmosphäre und terrestrischer/aquatischer Biosphäre

Dr. Stefan Hagemann
Terrestrial Hydrology Group
Dept.: Land in the Earth System
Max Planck Institute for Meteorology
Hamburg
stefan.hagemann@zmaw.de



Dr. Dieter Gerten
Biosphere Group
Earth System Analysis Research Domain
Potsdam Institute for Climate Impact Research
Potsdam
gerten@pik-potsdam.de

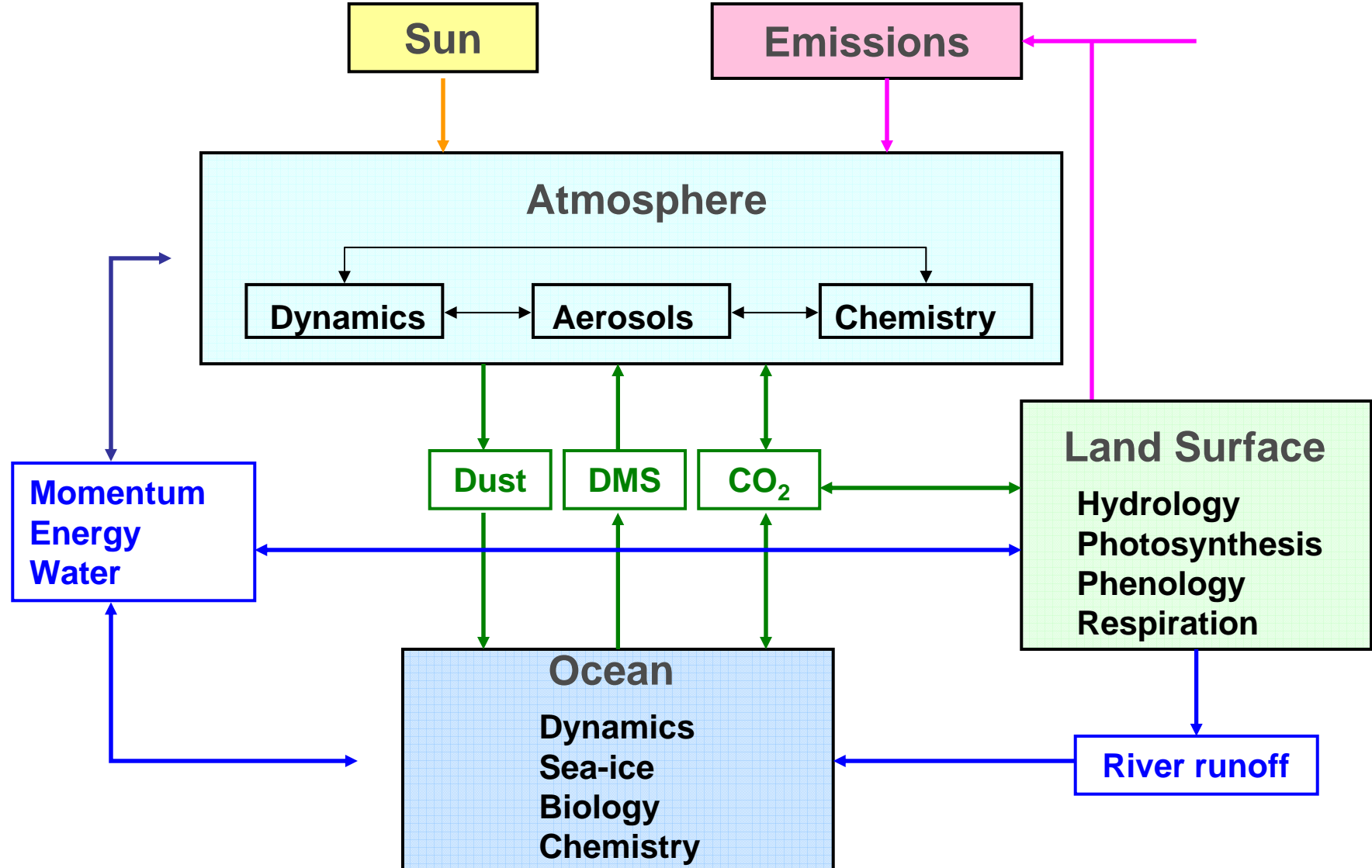


Content of this talk

- Current Earth System Model components
- Hydrological extremes
- Forcing hydrology models with climate model output
- Feedbacks Atmosphere – Hydrosphere
- ❖ Feedbacks Land use change – Hydrosphere
- ❖ Feedbacks Hydrosphere – Terrestrial & Aquatic Biosphere
(Ecological Impacts of Changing Water Quantities)



MPI-ESM: Processes

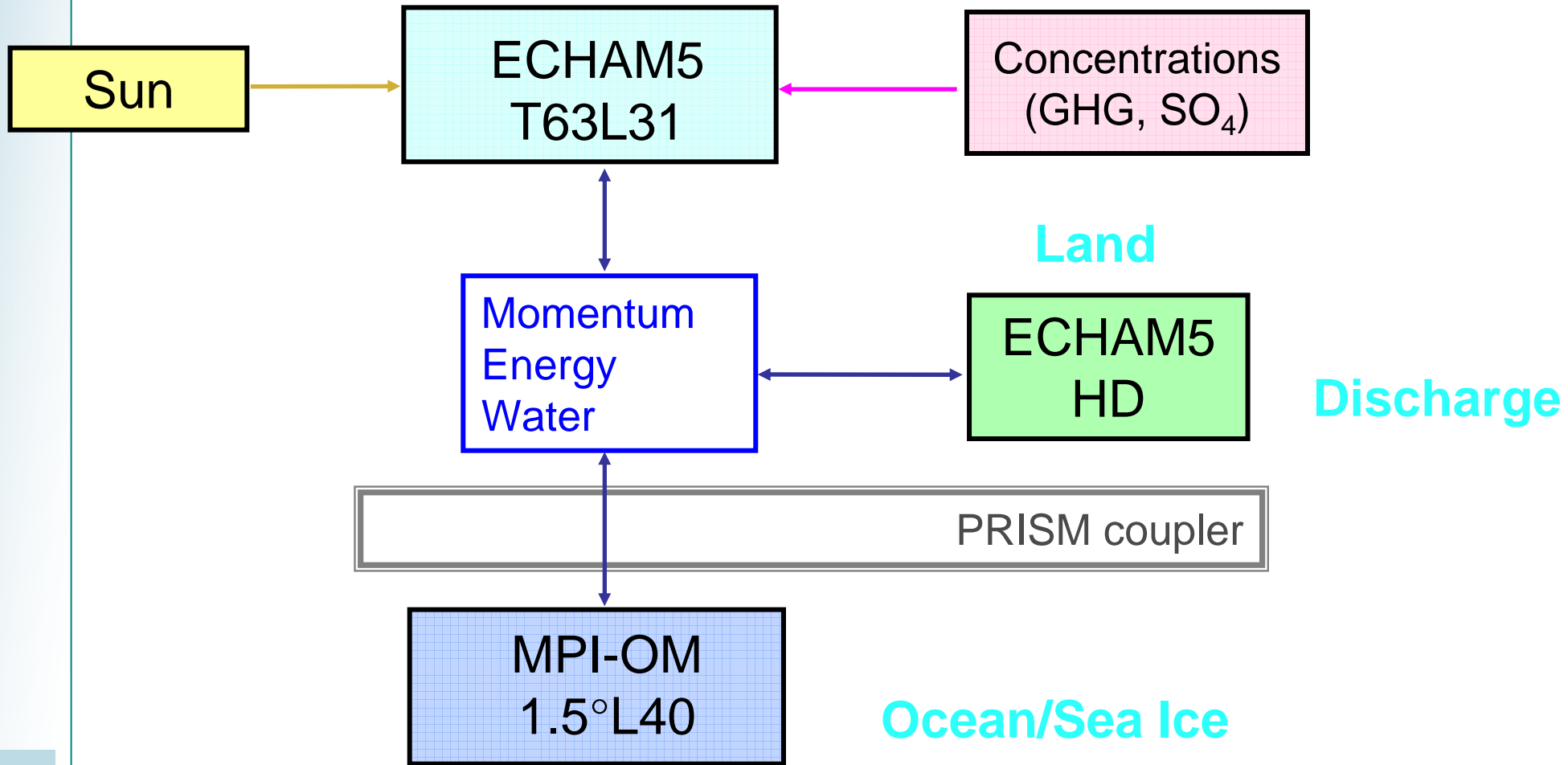




IPCC simulations: MPI-M GCM model components



Atmosphere





Climate change impacts

- Change in the mean climate
- Change in extremes
 - ❖ Large regional dependence
 - ❖ High resolution required → Downscaling of GCM results necessary
 - ❖ Dynamical downscaling using RCMs, e.g. REMO
 - ❖ Statistical downscaling, e.g. WETTREG

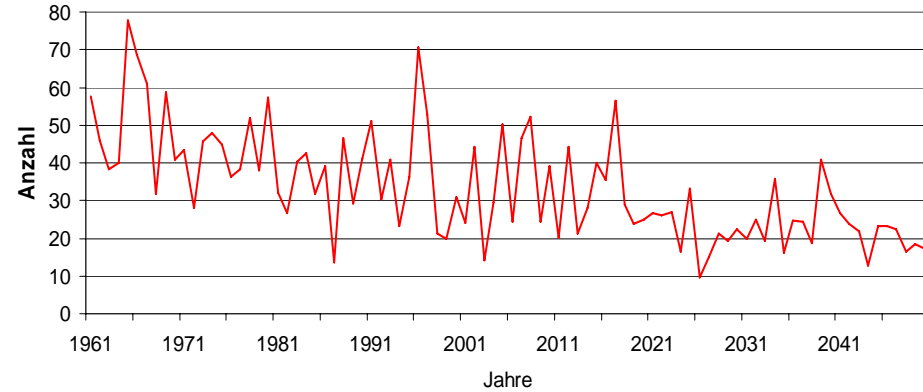




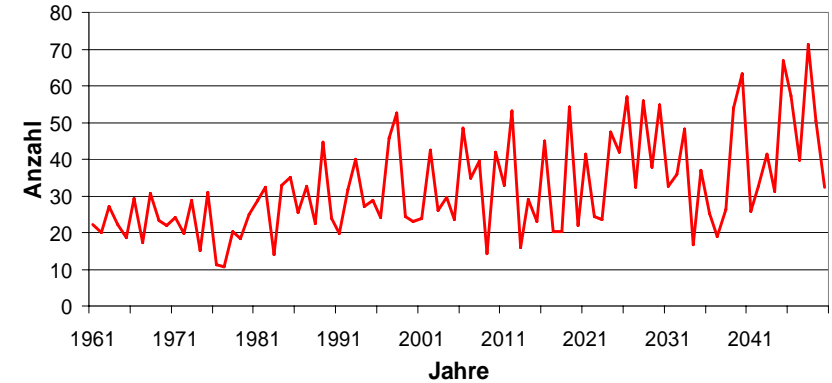
Rheineinzugsgebiet: (REMO 0.16° SRES B2)



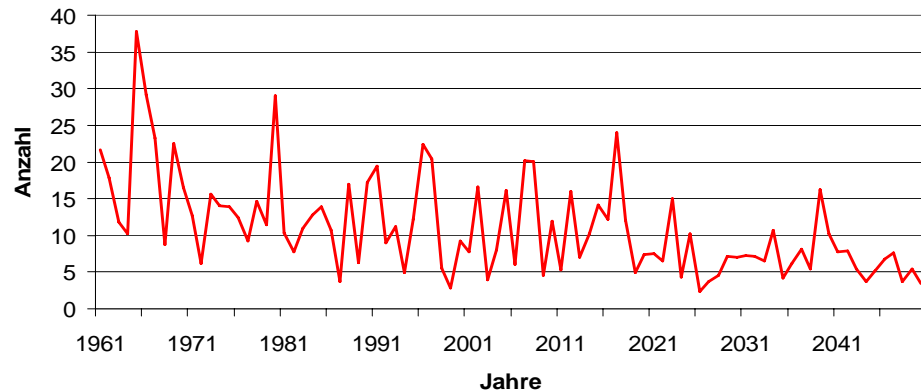
Frosttage (min < 0 °C)



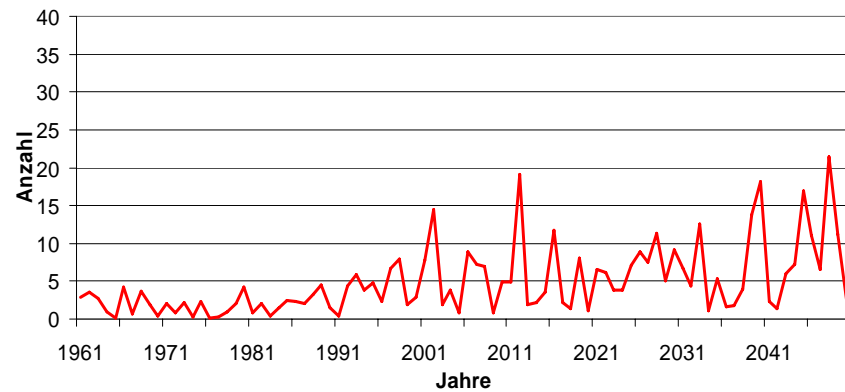
Sommertage (max >25 °C)



Eistage (max < 0 °C) (max<0)

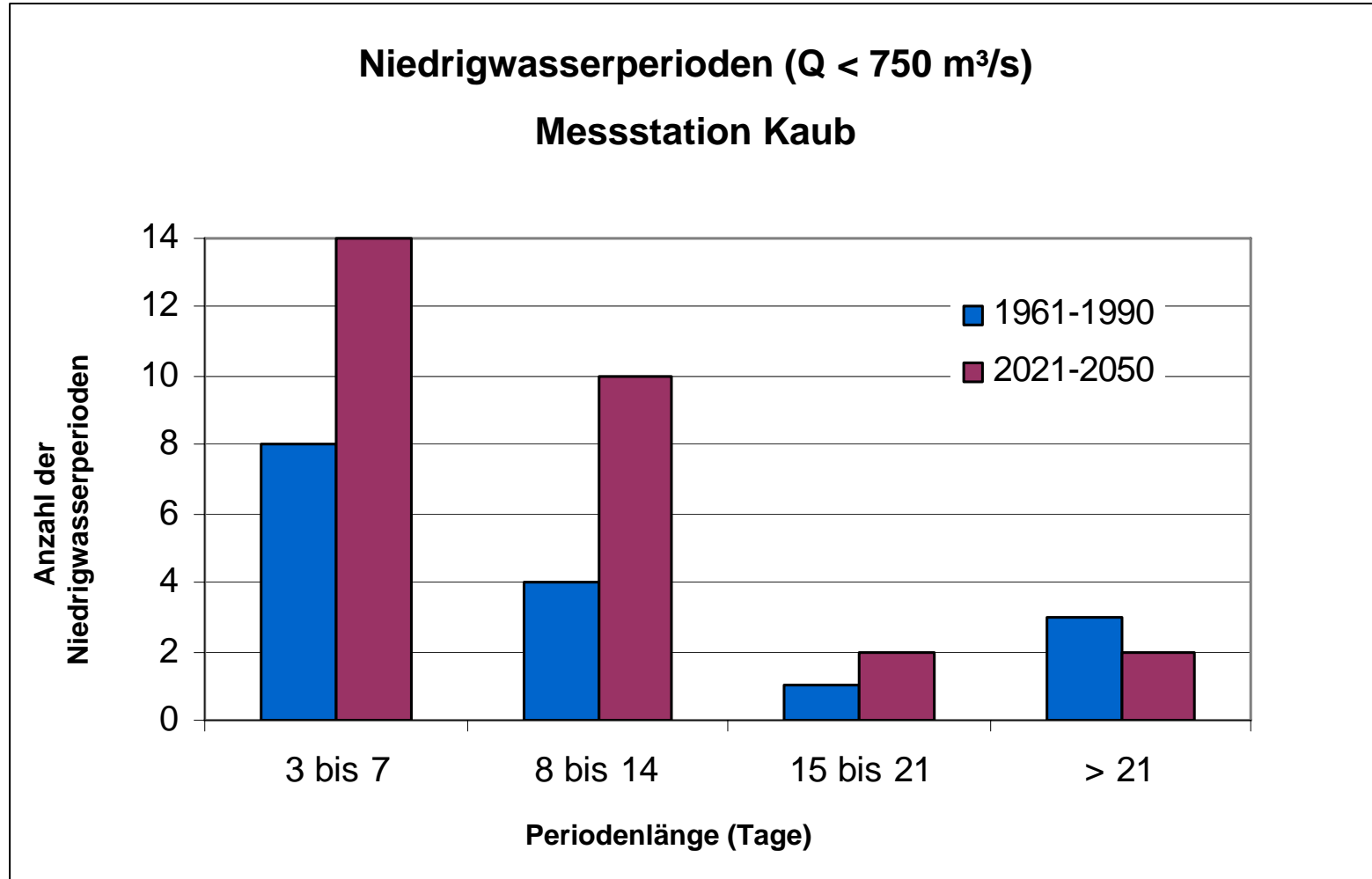


Heisse Tage (max >30 °C) >30)





Niedrigwasserperioden im Rhein, B2



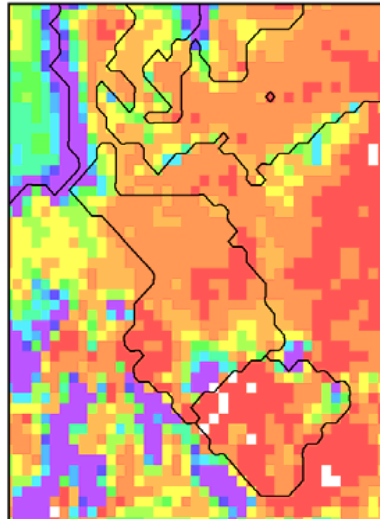


B2 Zahl der nassen Tage (>20 mm/Tag) : Elbe

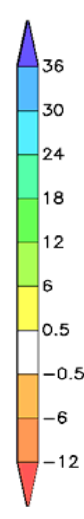
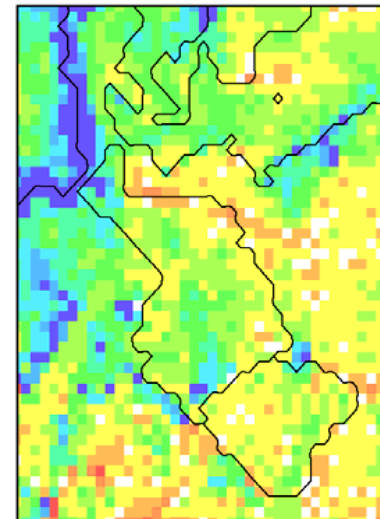


Winter

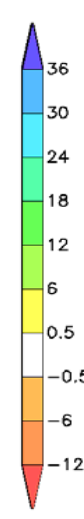
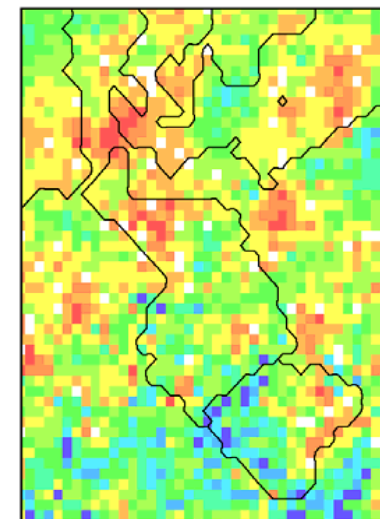
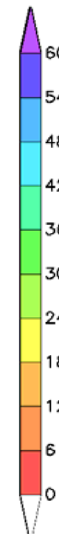
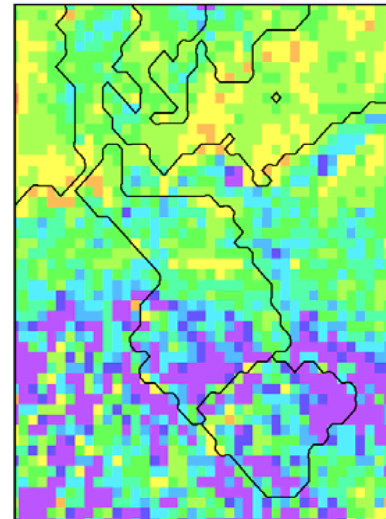
1961-1990



(2021-2050) - (1961-1990)

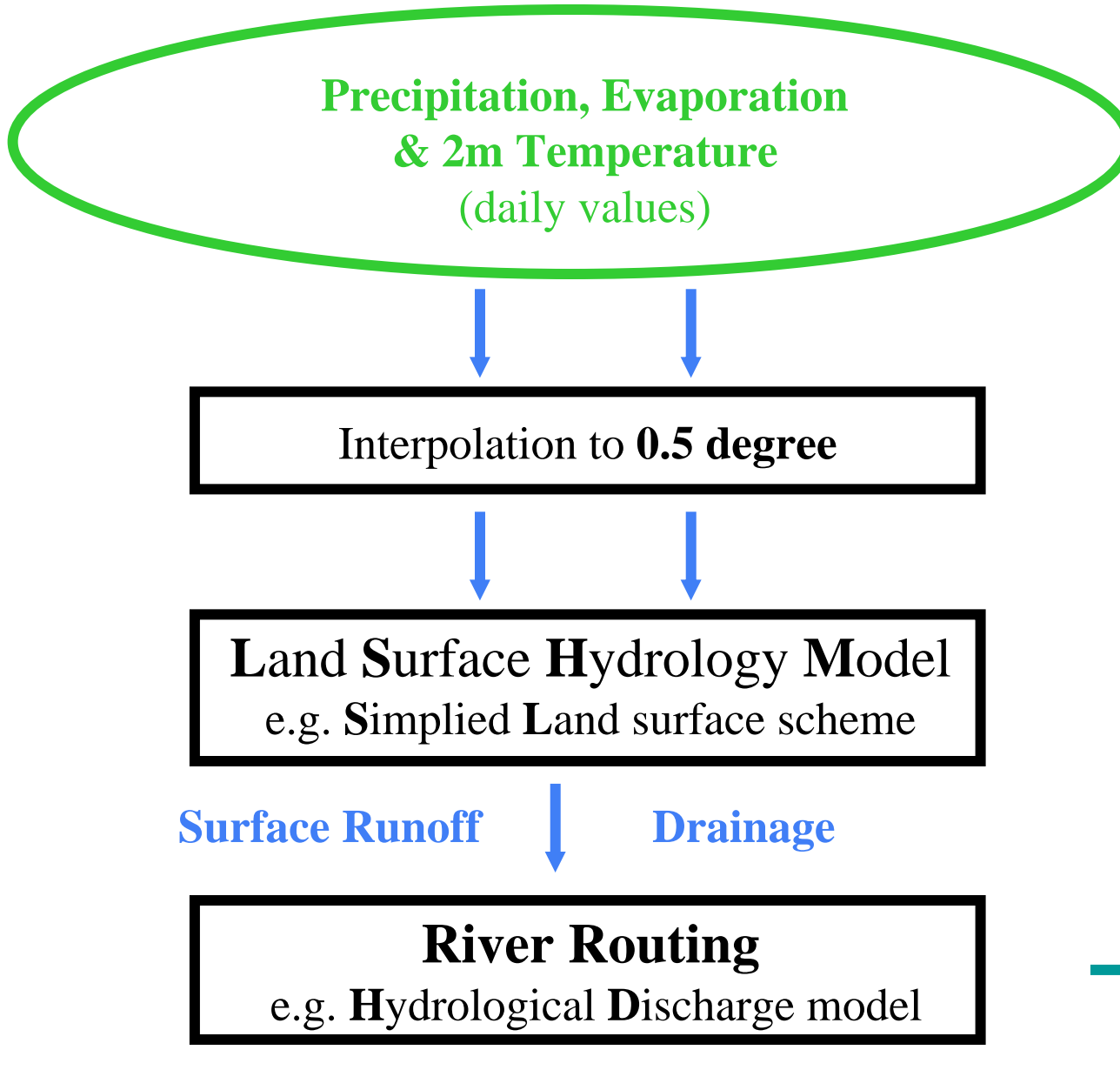


Sommer





Hydrology model forced by climate model input



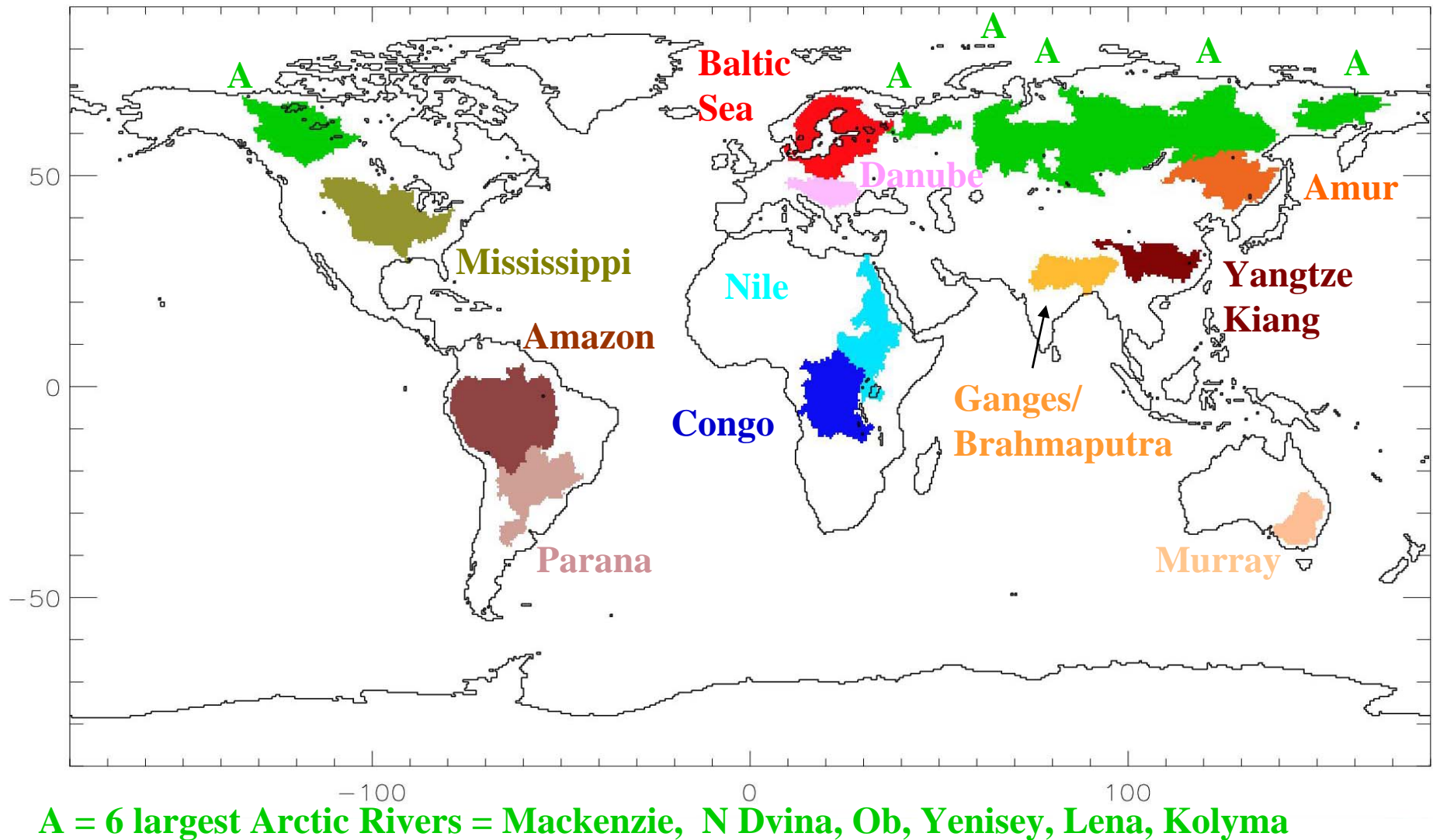


Application to GCM: MPI-M IPCC simulations



- ❖ Historical Climate (1860 – present), Focus: 1961-1990
- ❖ Scenarios (present to 2100), Focus: 2071-2100
 - Low emission scenario: **B1**
 - Moderate emission scenario: **A1B**
 - High emission scenario: **A2**
- ❖ **GCM: ECHAM5 / MPI-OM**
- ❖ 3 ensemble members for historical control simulation and each scenario
 - Horizontal Resolution of ECHAM5: T63 ~ 200 km
 - Forcing with observed / prescribed (for scenarios) concentrations of CO₂, Methane, N₂O, CFCs, Ozone (Tropos-/Stratosphere), Sulfate Aerosols (direct and 1. indirect effect)



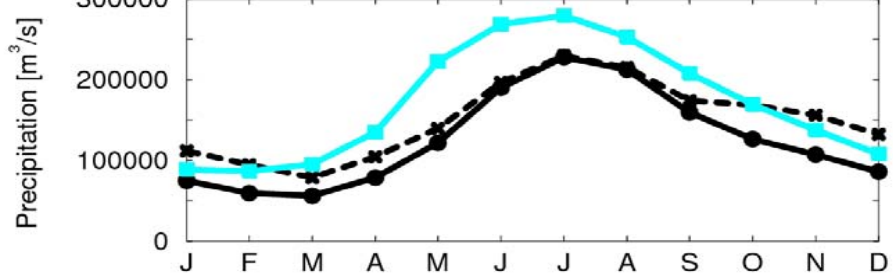




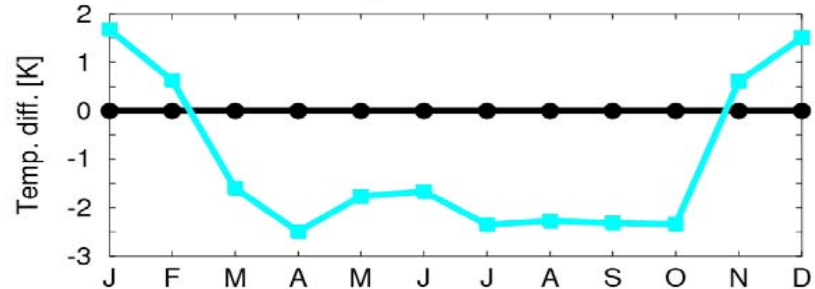
Vertical fluxes by GCM or by LSHM



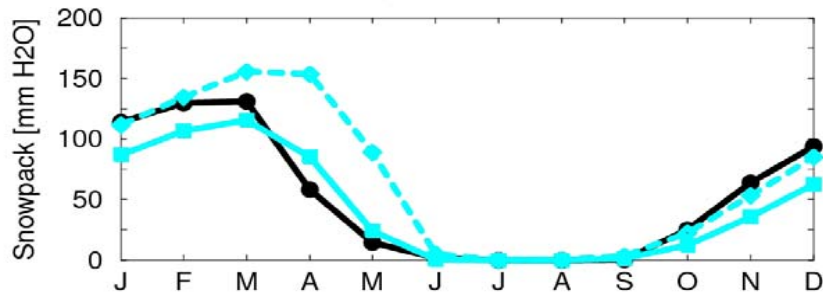
PRECIPITATION
6 largest Arctic rivers



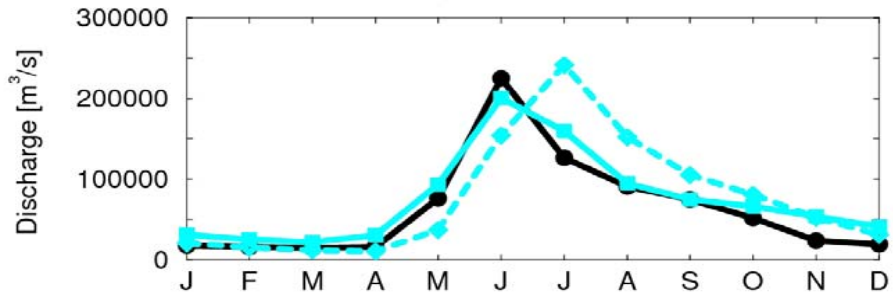
DIFFERENCE to CRU Vs.2 TEMPERATURE
6 largest Arctic rivers



SNOWPACK
6 largest Arctic rivers

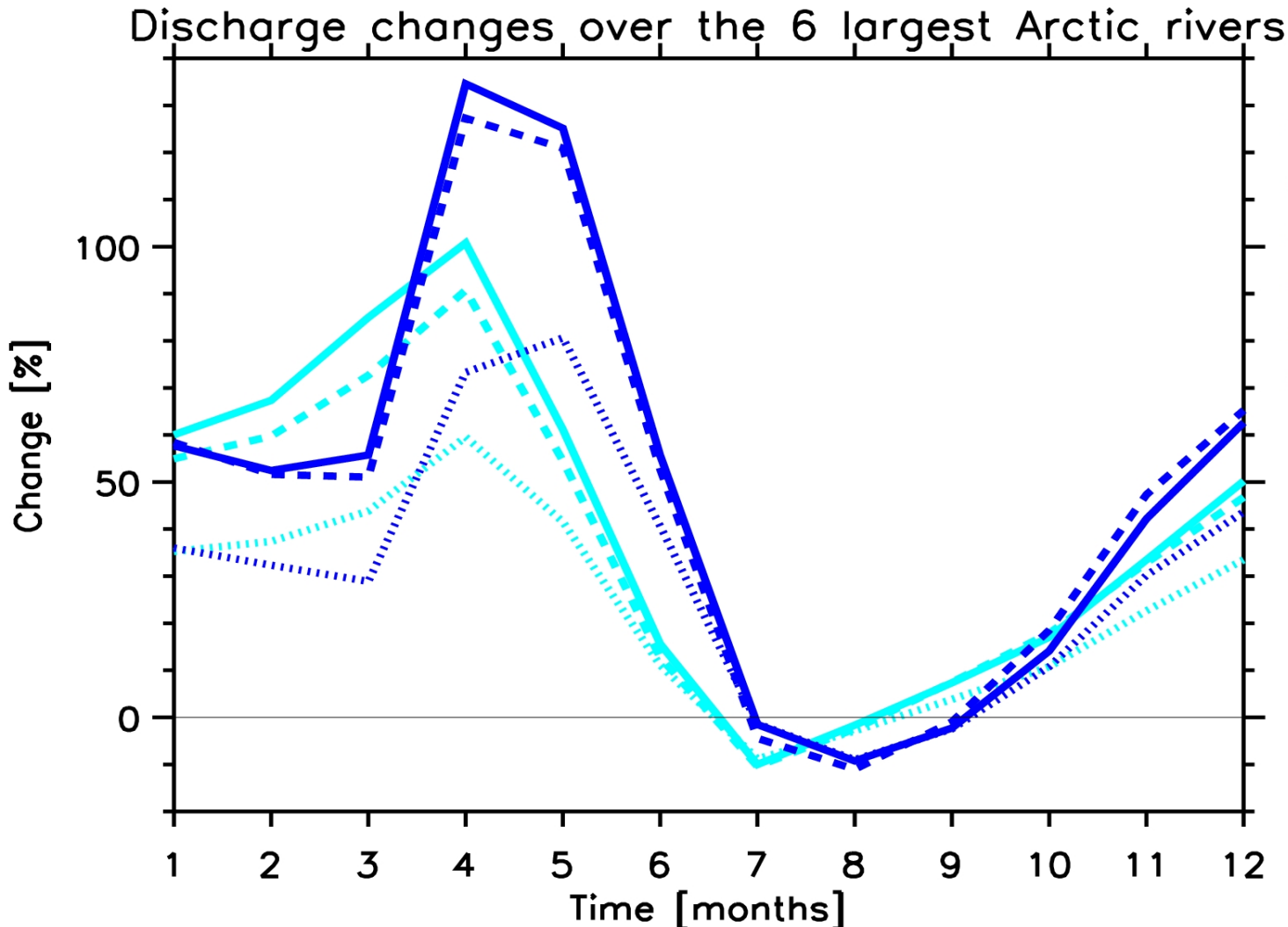


DISCHARGE
6 largest Arctic rivers





Implication on projected changes of discharge





Uncertainties

- ❖ Choice of the climate model (GCM or RCM)
- ❖ Choice of the emission scenario
- ❖ Natural climate variability
- ❖ Choice of the GCM forcing used for downscaling
- ❖ Choice of the hydrology model

Problems in river routing

- ❖ Interpolation from climate model grid to 0.5 grid required
- ❖ Often a Land Surface Hydrology Model (LHSM) is required to force a river routing model
- ❖ Simulated discharge largely depends on the quality of precipitation and snowmelt used as forcing
- ❖ Available discharge observations (e.g. from GRDC) often end in the 80s





Future Work

- ❖ One aim of WATCH is to provide global LSHMs and methods to use forcing from climate models
- ❖ These LSHMs shall include river routing, irrigation, dams, and groundwater schemes

Climate model → LHSM = One way coupling

- ❖ Investigation of feedbacks requires two-way coupling





Feedbacks: Atmosphere–Hydrology

- Soil moisture – precipitation feedback
- ❖ Reduced precipitation → Drying of soil = less soil moisture
→ less evapotranspiration → less local recycling of moisture into the atmosphere → less precipitation

- Snow – albedo feedback
- ❖ Warming → less precipitation falling as snow, increased snowmelt → lower surface albedo → more energy uptake of surface → warming of surface → increased snowmelt

- Desertification
- ❖ Warming → more droughts → drying of soil and erosion → less water storage capacities of soil → more runoff, less infiltration → further drying



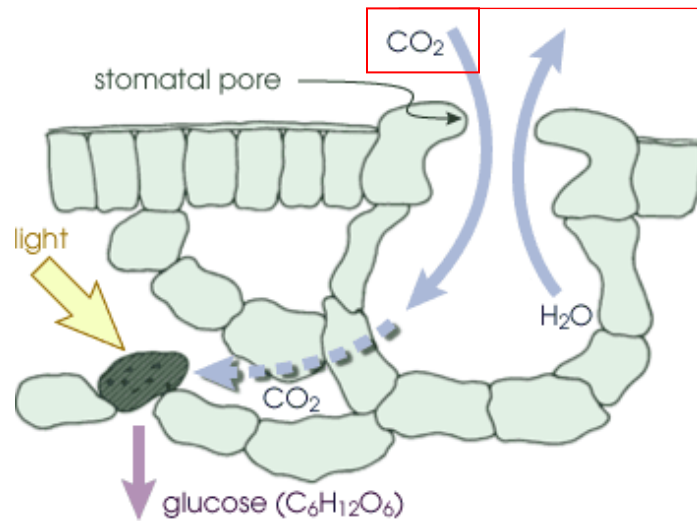


Feedbacks: Atmosphere–Hydrology

- Permafrost
- ❖ Warming → permafrost melting
 - increase in wetlands → increased methane production
 - release of stored soil carbon
 - increased atmospheric GHG
- Wetlands
- ❖ Increase may lead to more methane production
- ❖ Decrease may yield results similar to the soil moisture–precipitation feedback
- Further topics that may involve important feedbacks
- ❖ Groundwater



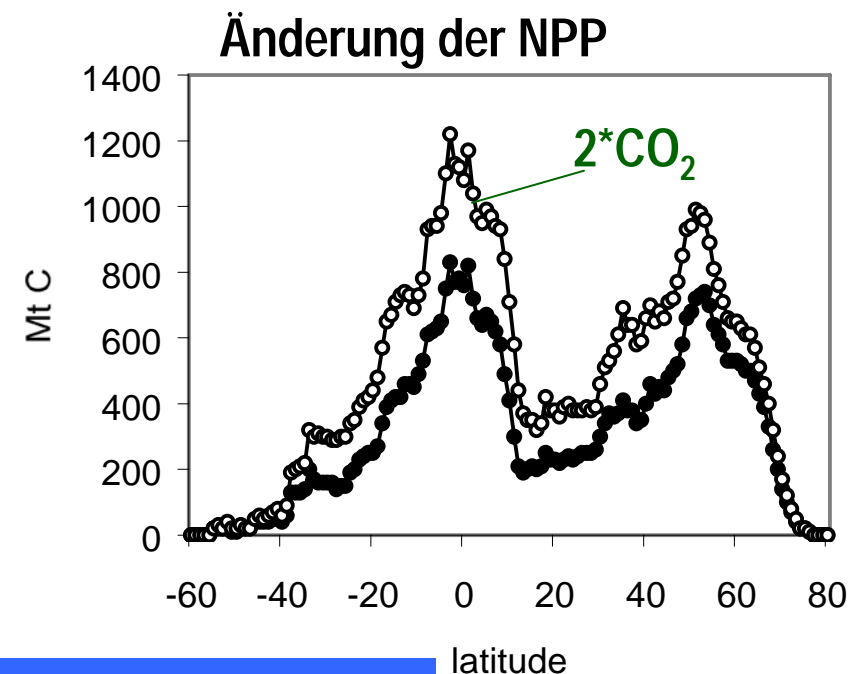
Feedbacks Atmo-/Hydro-/Biosphäre: Die direkten CO₂-Effekte



Hohe CO₂-Konzentration

- ⇒ Stomata schließen eher
- ⇒ Wasserverlust durch Transpiration sinkt bei gleicher CO₂-Aufnahme
- ⇒ höhere Wassernutzungseffizienz

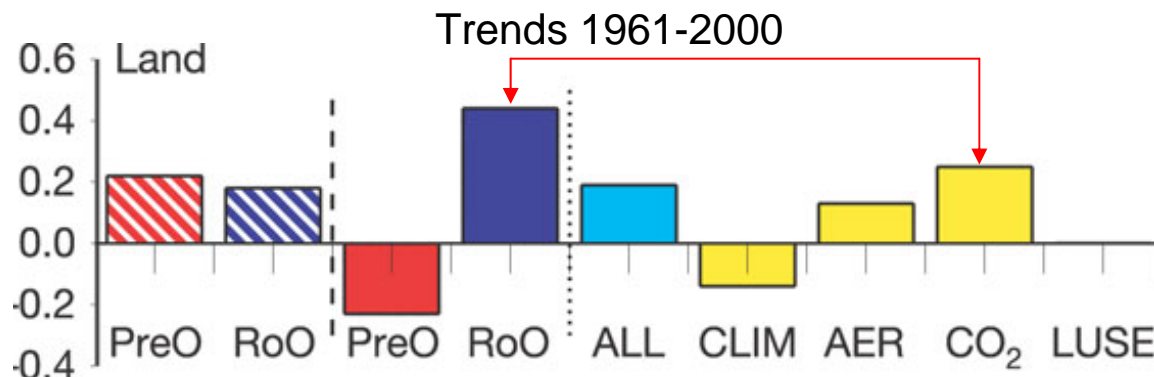
physiologischer CO₂-Effekt
⇒ geringere Transpiration



→ **struktureller CO₂-Effekt**
⇒ höhere Biomasse
⇒ höhere Transpiration

Leipprand 2004

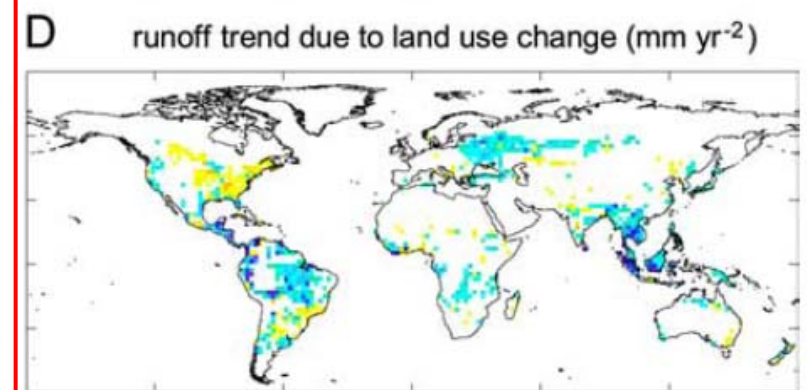
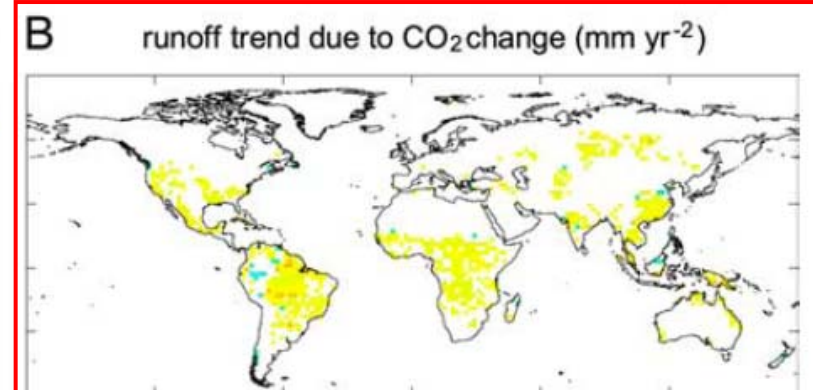
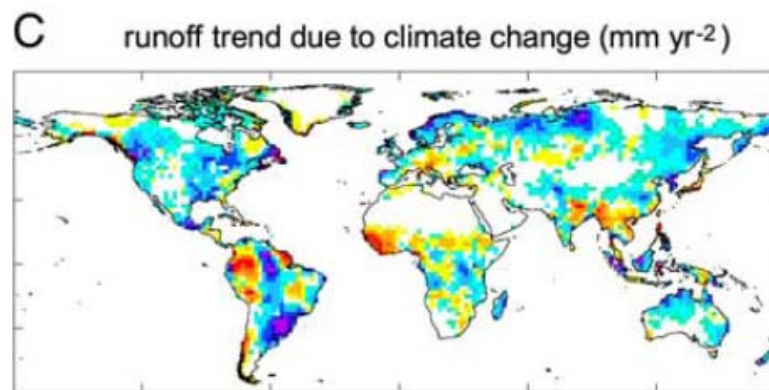
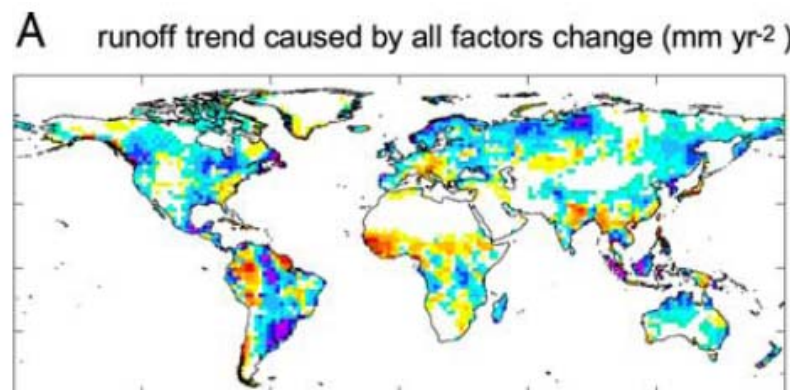
Mögliche Auswirkungen der CO₂-Effekte auf den Abfluss



Gedney et al., *Nature*, 2006

- Quantifizierung der (simultanen) physiologischen und strukturellen Effekte erfordert Kopplung von hydrologischer und Vegetationsmodellierung

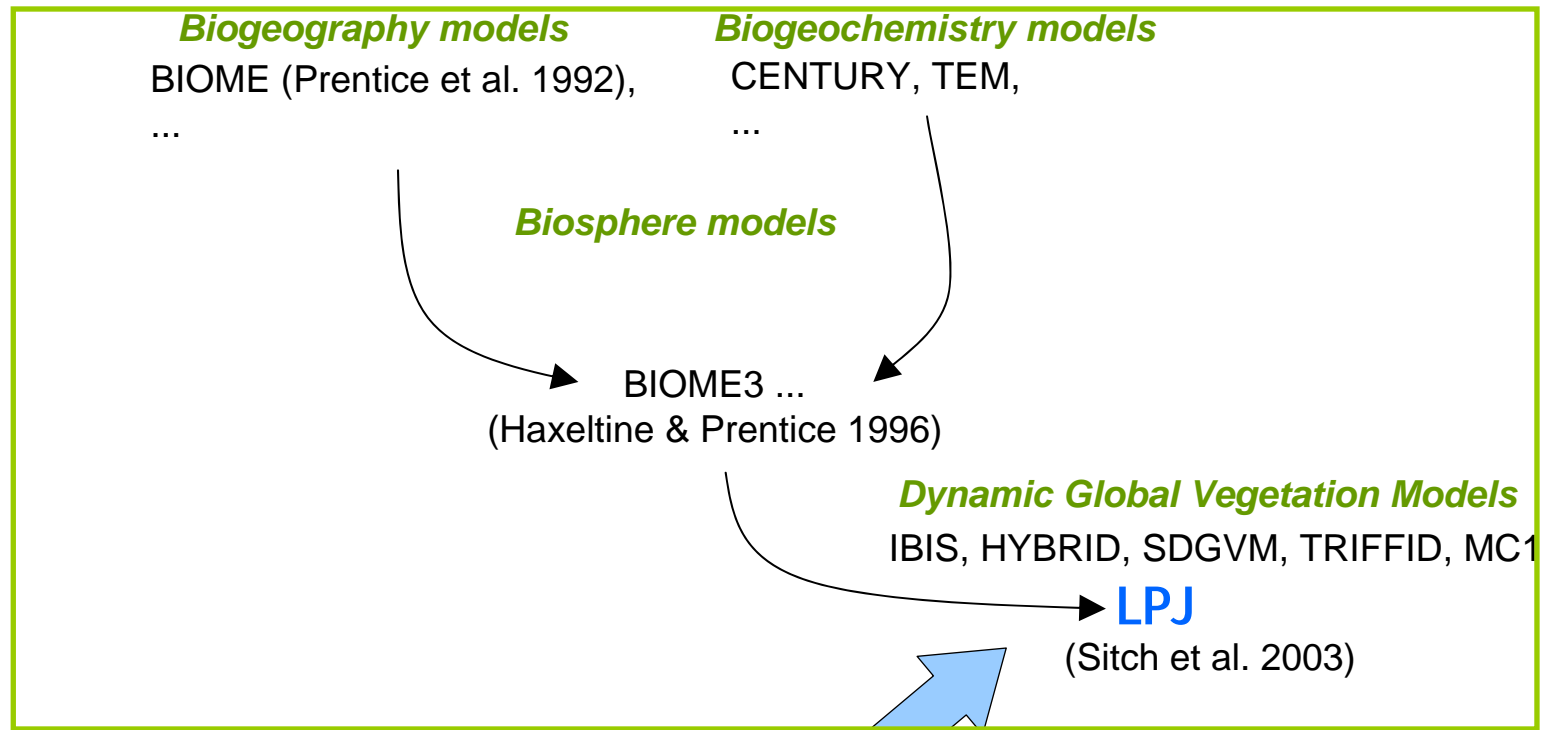
Piao et al., *PNAS*, 2007



Welche makroskaligen hydrologischen Modellfamilien gibt es?

General
Circulation
Models

Klimasystem



WaterGAP (Alcamo/Döll, Universitäten Kassel/Frankfurt)

Macro-PDM (Arnell, Universität Southampton)

WBM (Vörösmarty, Universität New Hampshire)

TRIP (Oki, Universität Tokyo)

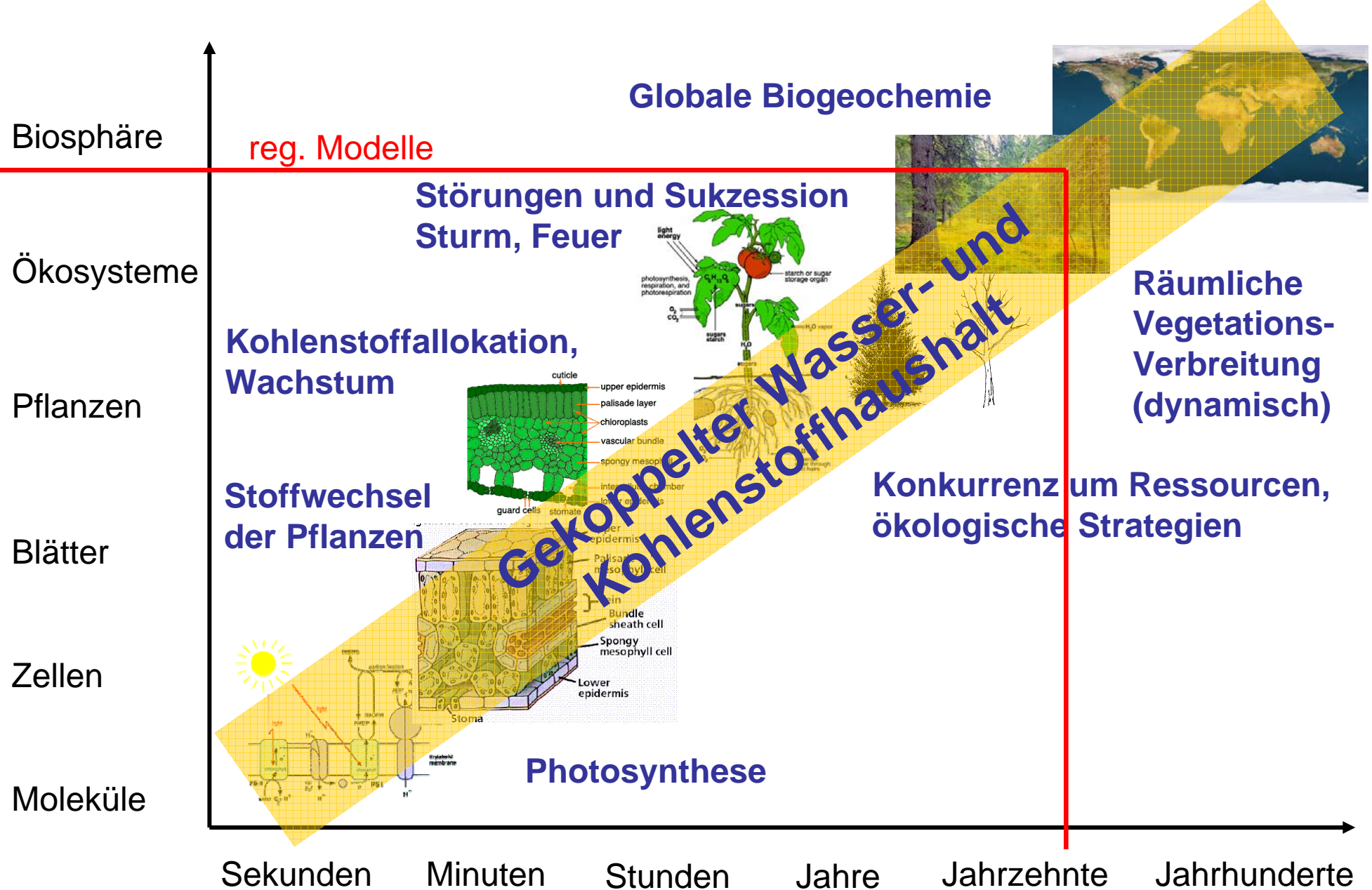
IMPACT-WATER (Rosegrant, Int. Food Policy Research Institute)

+ HBV etc. (< kontinentale Skala)

*terrestrische Biosphäre
(und Wasser)*

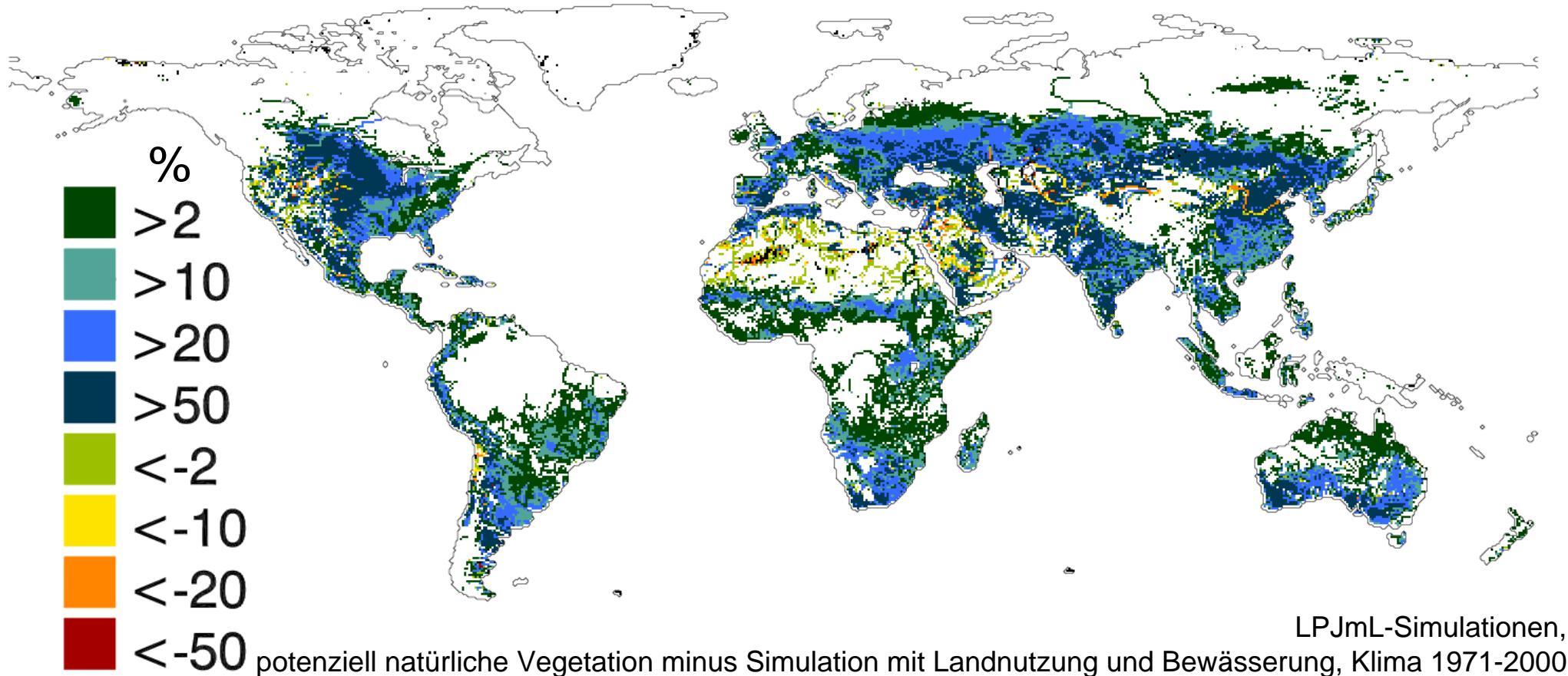
Wasserbedarf u. -dargebot

Prozesse in Biosphärenmodellen (z.B. LPJ)



Feedback Bewässerung/Landbedeckung – Durchfluss

%-Änderung durch Landbedeckungsänderungen und Bewässerung



Globaler Impakt von Landnutzungsänderungen:

4.8% mehr Durchfluss

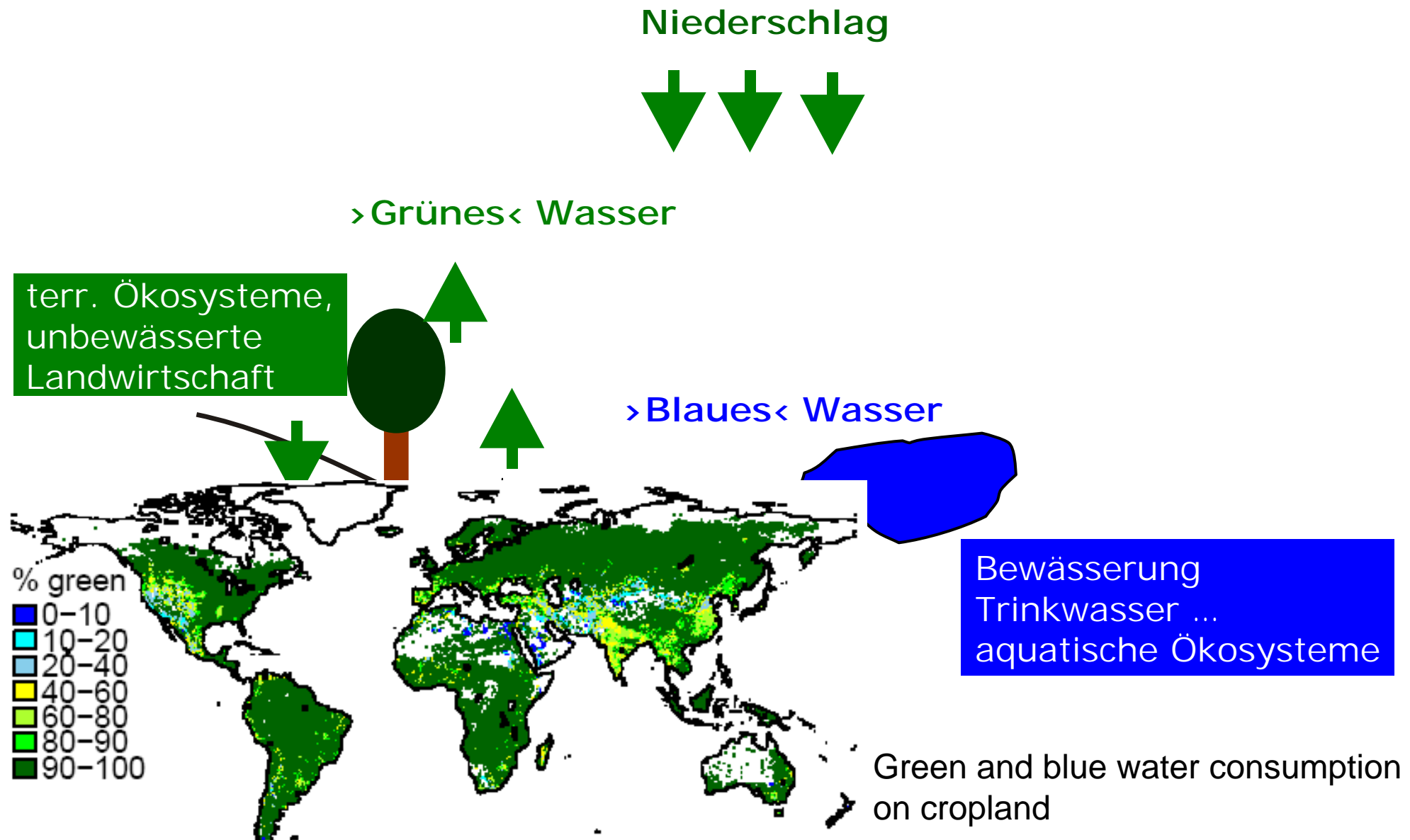
Globaler Impakt von Bewässerung:

1.3% weniger Durchfluss

Globaler Impakt von 2 x CO₂ (Zukunft):

~ 2% mehr Durchfluss

Wasserressourcen für Mensch und Biosphäre



Konzeptionalisierung eines neuen Wasserstress-Indikators

Bisherige Wasserstress-
Indikatoren nur für blaues
Wasser, z.B.:

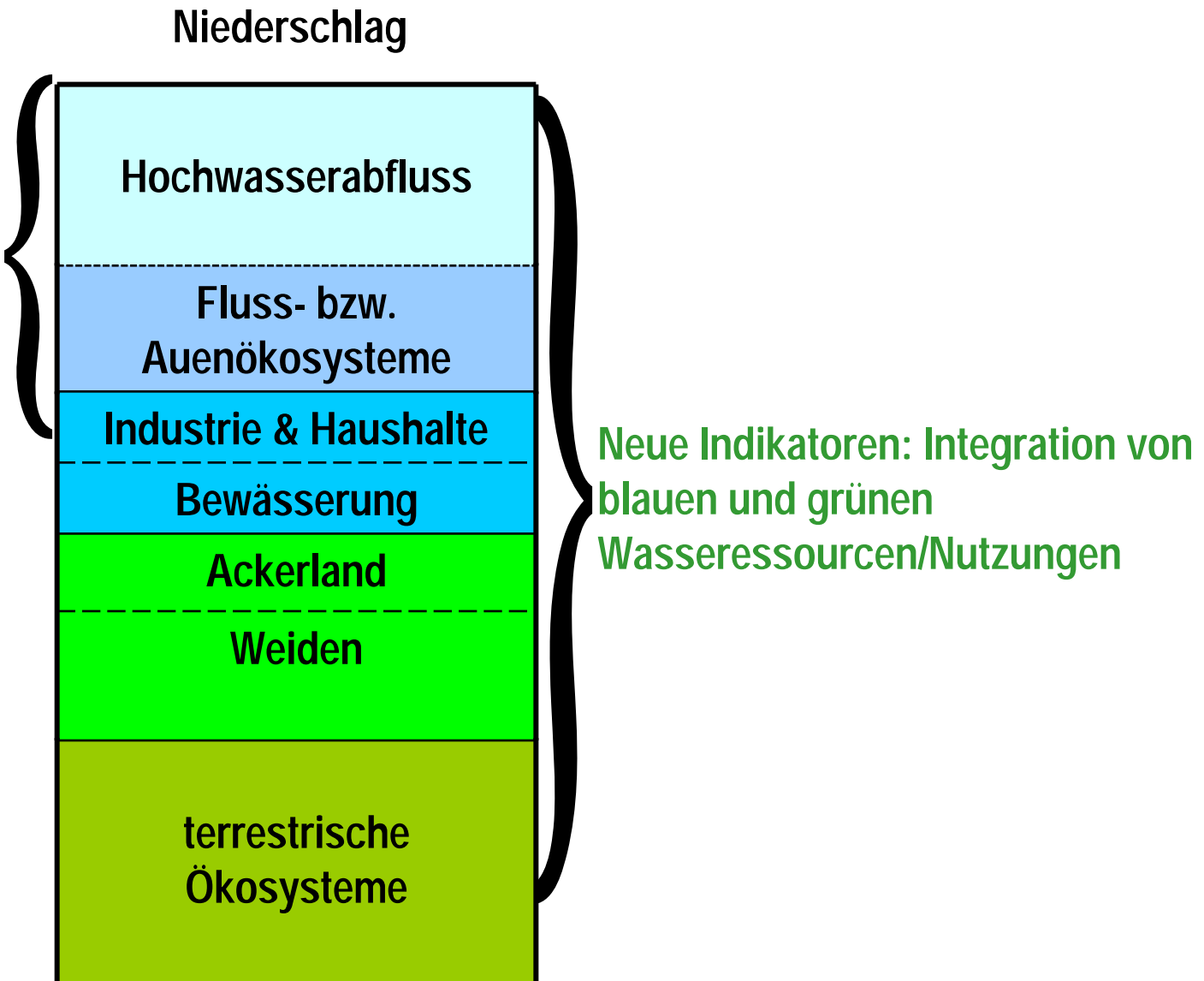
- Kritikalitäts - Index :

$$CR = \frac{\text{Entnahme}}{\text{Verfügbarkeit}}$$

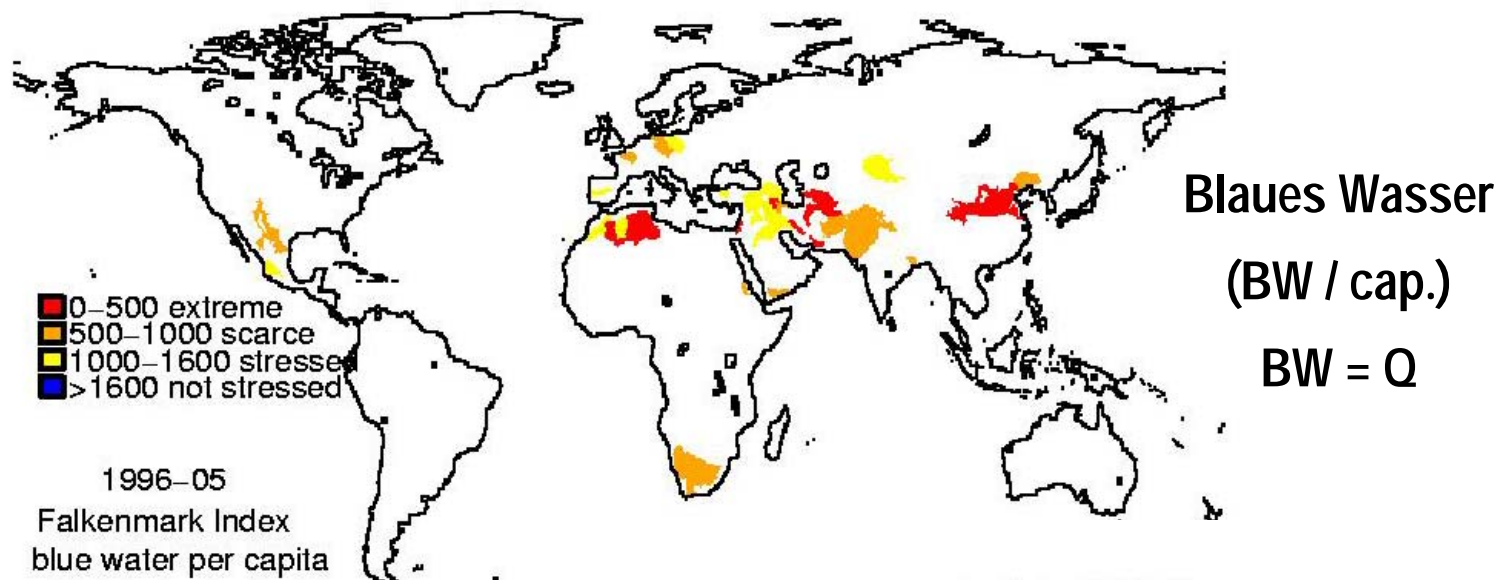
$CR * \text{Bevölkerungsdichte}$

- Falkenmark - Index :

Verfügbarkeit pro Person



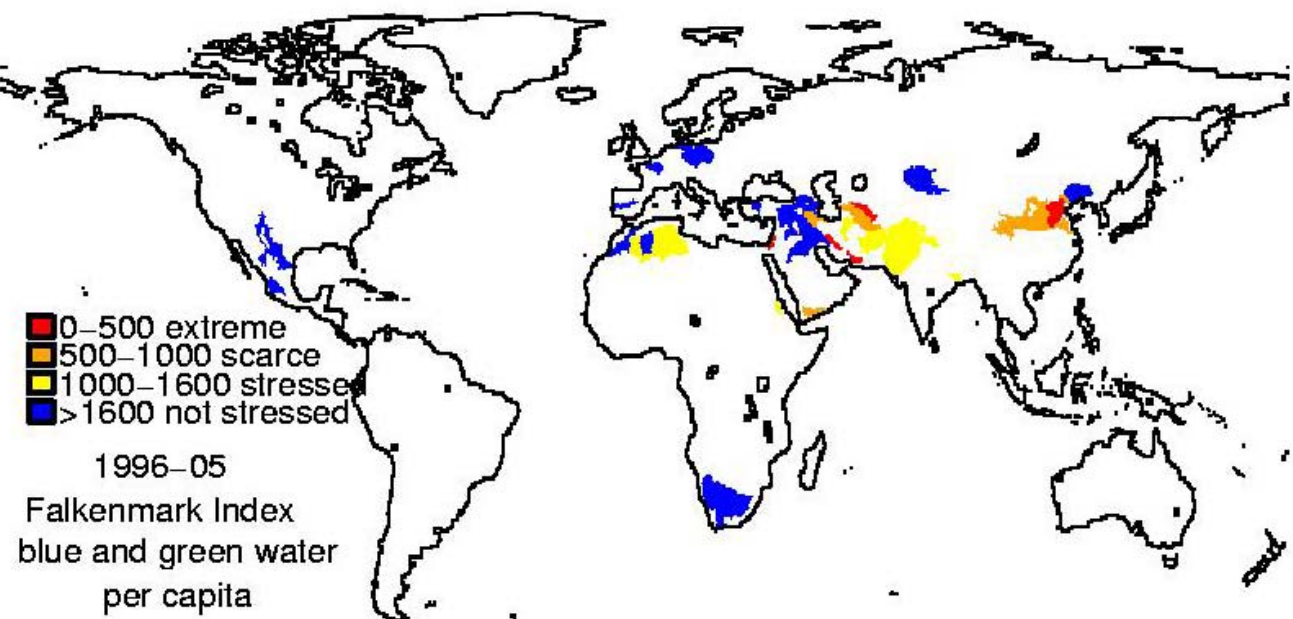
Blauer und grüner Wasserbedarf/-stress in der Landwirtschaft



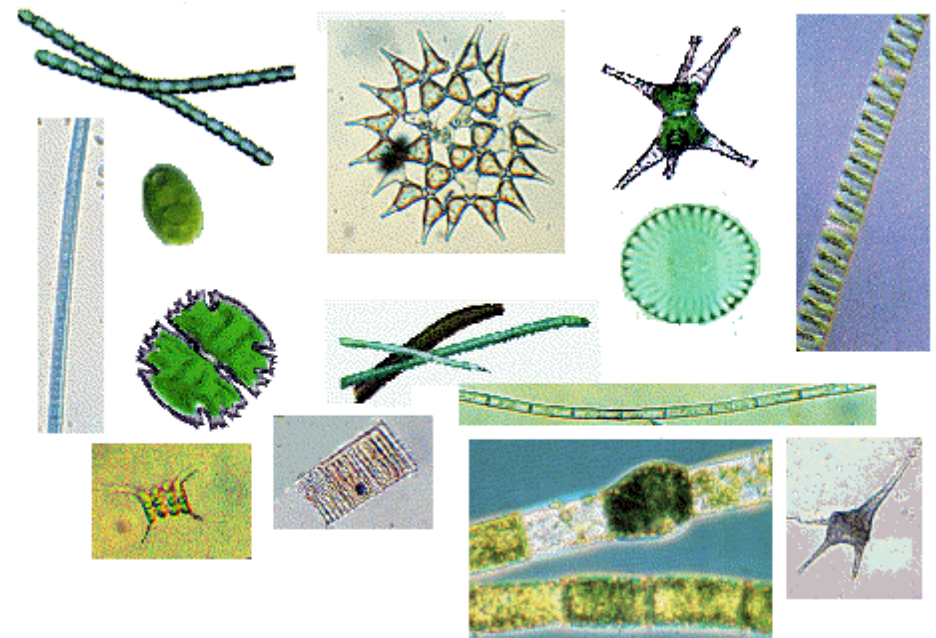
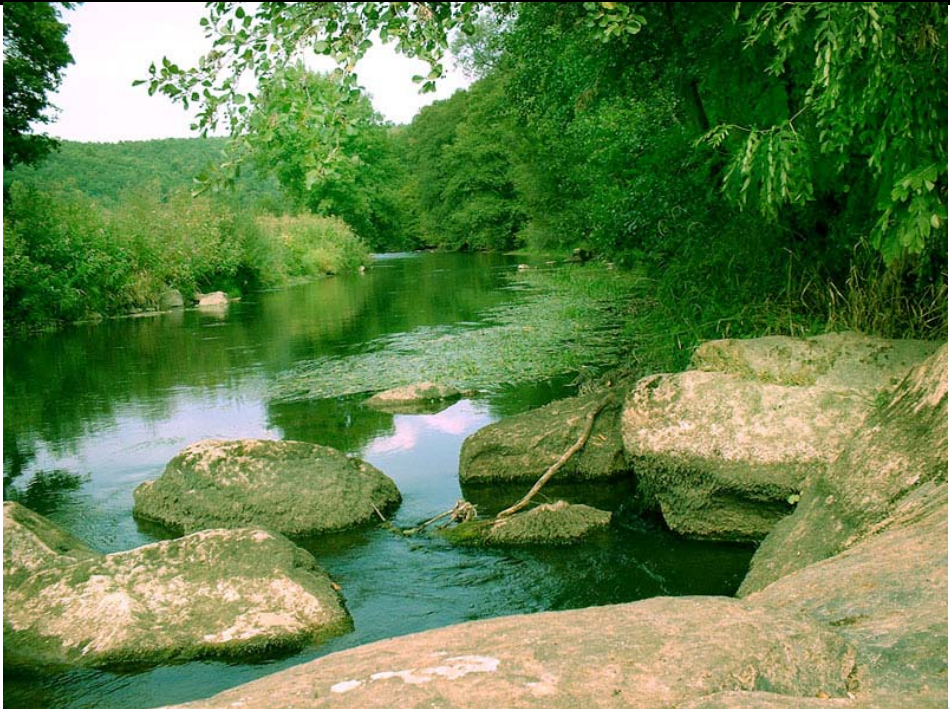
Blaues u. grünes Wasser
(BW / cap. + GW / cap.)

$$GW = P_c - Q_c$$

c = Ackerland



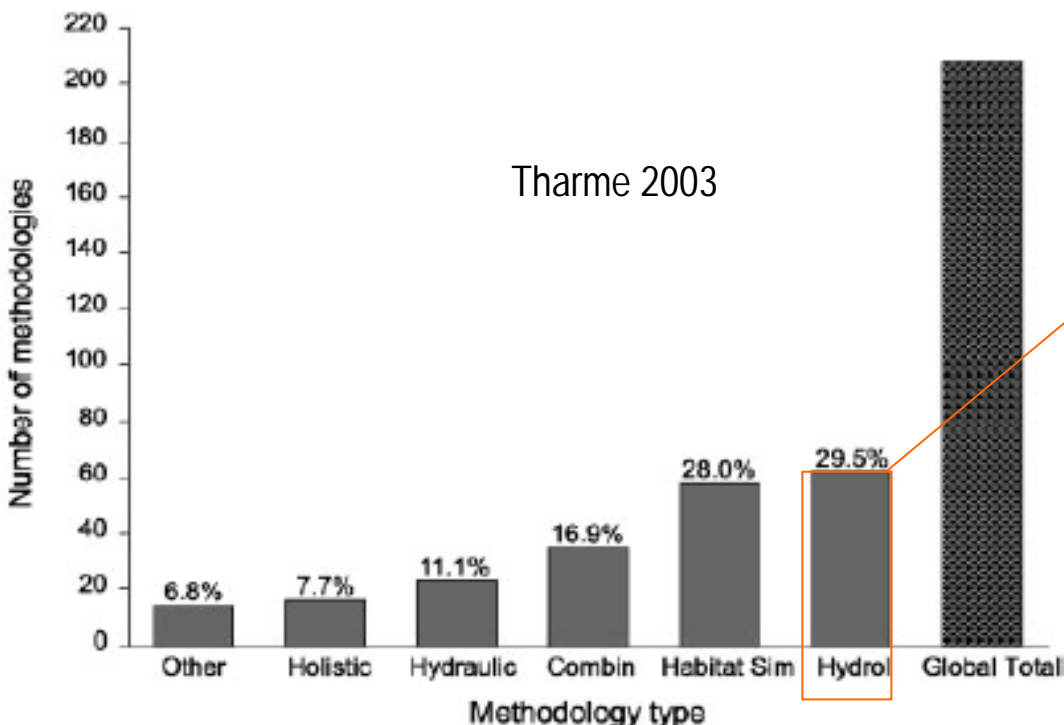
Wasserbedarf/-stress aquatischer Ökosysteme



„Environmental Flow Assessment“:

„How much of the original flow regime of a river should continue to flow down it and onto its floodplains in order to maintain specified, valued features of the ecosystem?“ (Tharme 2003)

Eine Ableitung des ökologischen Wasserbedarfs



Smakhtin, Revenga & Döll 2004

Ökologischer Niedrigwasserbedarf (ÖNB)

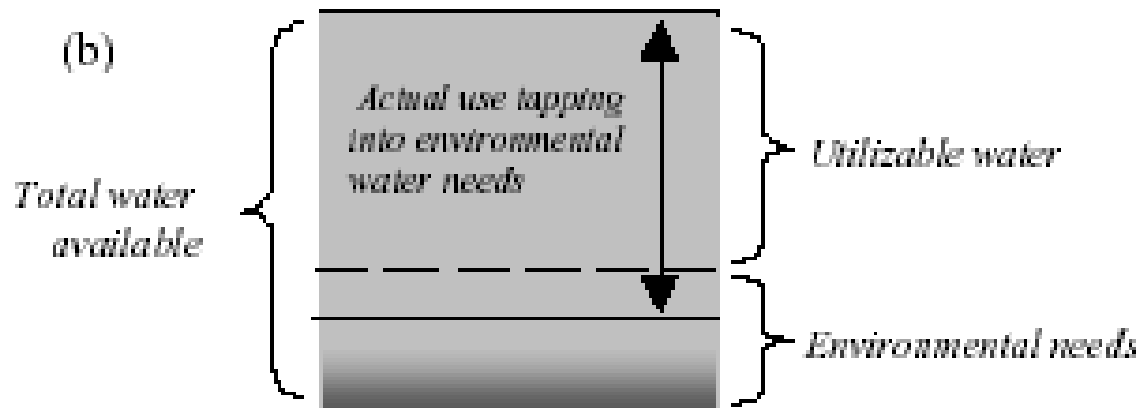
Gewässerzustand	Bedarf
natürlich	Q50
gut	Q75
moderat	Q90
schlecht	-

Ökologischer Hochwasserbedarf (ÖHB)

- dto. abhängig vom Abflussregime (Q90)

$$\text{ÖWB} = \text{ÖHB} + \text{ÖNB}$$

(b)

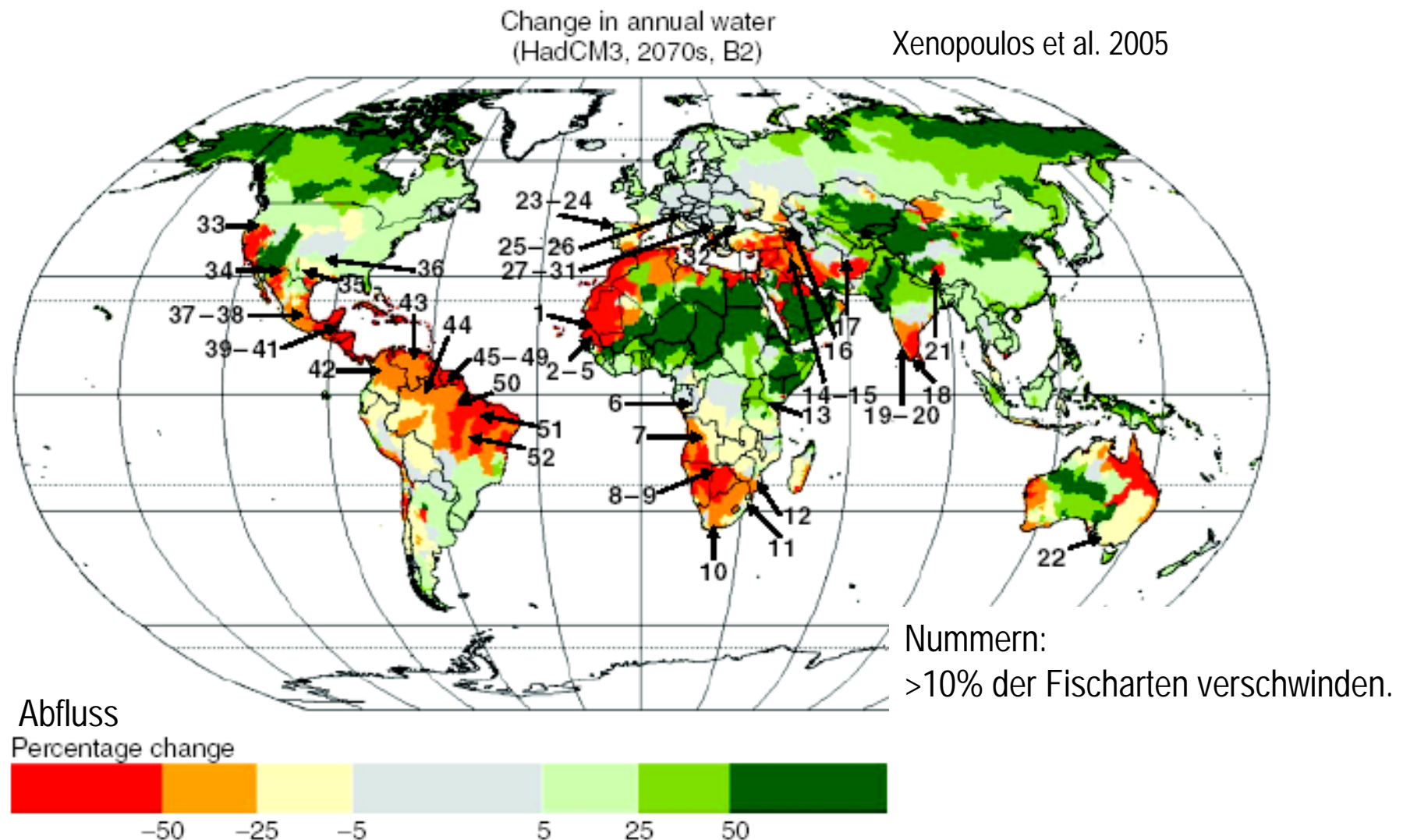


ein erweiterter Wasserstress-Index:

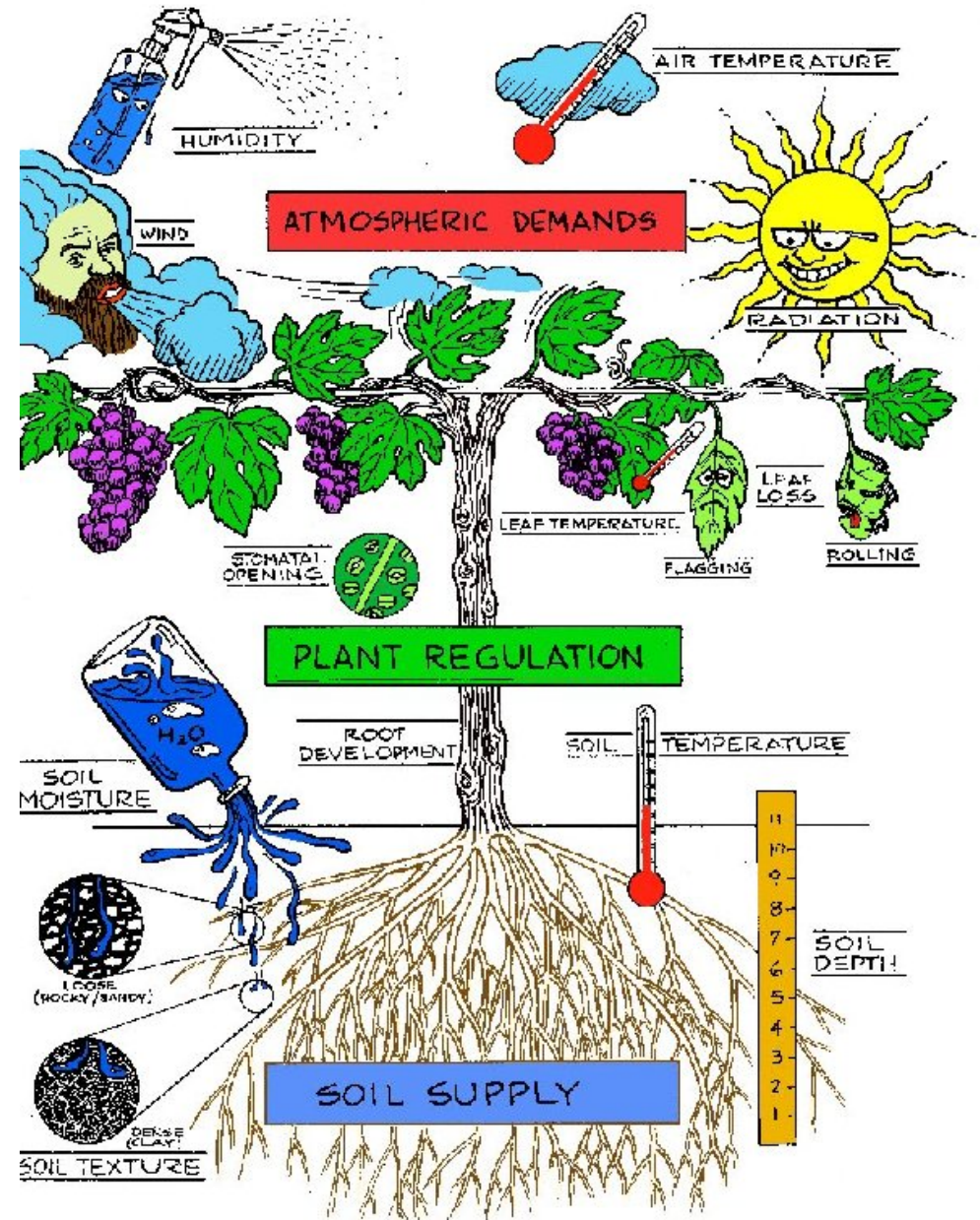
$$\text{WSI} = \text{Entnahme} / \text{Dargebot}$$

$$\text{WSI}_{\text{Ö}} = \text{Entnahme} / (\text{Dargebot} - \text{ÖWB})$$

Zusammenhänge mit Fischartenspektrum

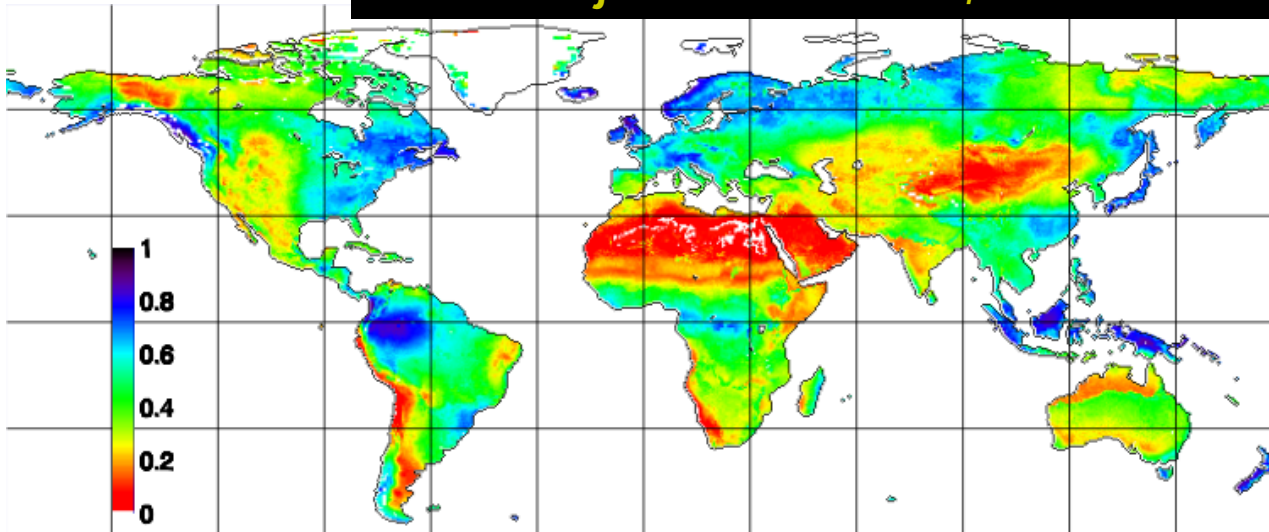


Wasserbedarf/stress terrestrischer Ökosysteme

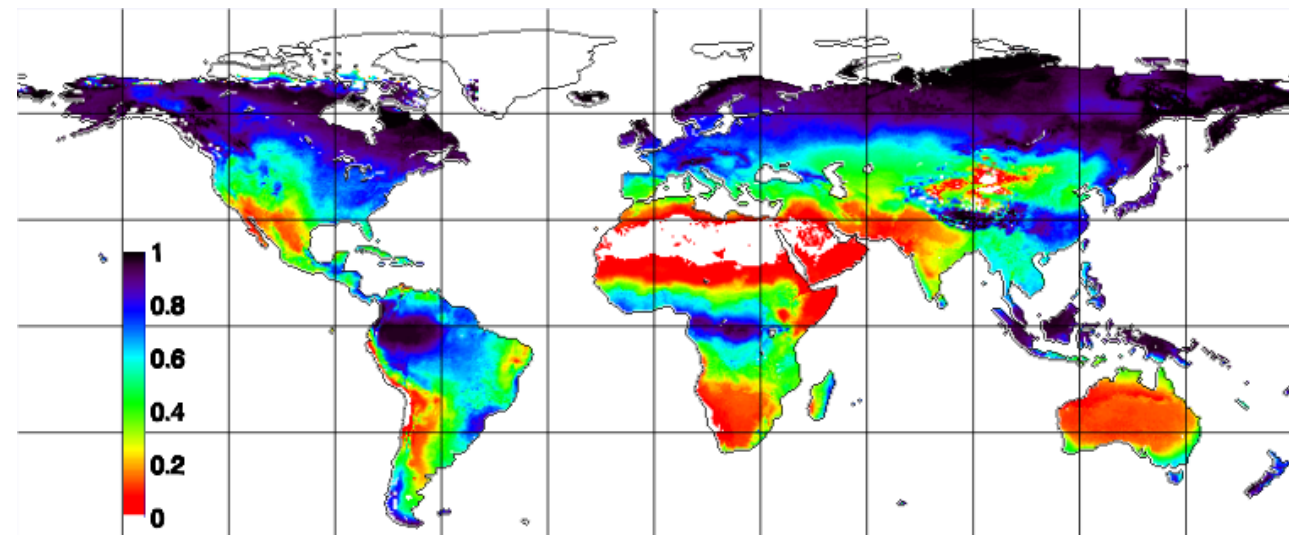


Wasserlimitation der terrestrischen Nettoprimärproduktion

mittl. jährl. Bodenfeuchte, 1961–90



mittl. jährl. Wasserlimitierung, 1961–90



Gerten et al., *GRL*, 2005



**Danke für die
Aufmerksamkeit!**

